

نماذج التنبؤ بأسلوب التنبئات العصبية لوارد ومطلق المياه لسد الموصل

* أ. م. د. رعد فاضل حسن ** رؤى خلدون فائق

المستmary:

بعد التنبؤ المستقبلي للسلسل الزمنية من الموضوعات المهمة في العلوم الإحصائية لمساعدة الإدارات في التخطيط وإتخاذ القرارات الدقيقة لذا تتناول هذه الدراسة أساليب التنبؤ الحديثة وتمثل بنماذج الشبكات العصبية الإصطناعية Artificial Neural Networks Models (ANN) وبالتالي تم تحديد الشبكة المتعددة الطبقات إذ اعتمدت خوارزمية الانتشار الخلفي (BP) عادة مرات للتدريب وإختيار أقل قيمة للخطأ للحصول على أفضل نموذج لوصف البيانات وكذلك تم التطرق إلى طرق التنبؤ الكلاسيكية كنماذج بوكس- جنكينز وتحليل الإنحدار الخطى المتعدد وتوفيق عدة نماذج وإختيار أفضلها لكل طريقة وقد تم تطبيق هذه الأساليب الثلاثة على بيانات واقعية عن المعدلات الشهرية لنصاريف المياه الواردة والمطرقة والمقاسة بوحدات ($m^3/\text{ث}$) لبعض السدود في العراق وتمت المقارنة بين النماذج المقدمة لهذه الأساليب لإيجاد الأسلوب الأكثر كفاءة للتنبؤ وفق المقاييس الإحصائية إذ وجد إن أسلوب الشبكات العصبية يعطي نتائج أفضل وأكثر كفاءة لإغلب السلسل الزمنية لوارد ومطلق السدود .

Abstract

The prediction futurely of time series from the important topics in statistics sciences to assist administrations in the planning and make the accurate decisions, so this study dealing with prediction methods modern and it's models of artificial neural networks specifically multiple layers network where they adopted the algorithm to Back Propagation (BP) of the train several times and choose the lowest value of the error to get the best model to describe the data and were discussed also the prediction ways classical as models Box - Jenkins and analysis of multiple linear regression and reconcile several models and choose the best model for each method and may to be applied to these three methods on the factual data off monthly averages for the water incoming and absolute and measured in units of (m^3/s) for some dams in Iraq and has comparison between the models estimated for these methods to find the most efficient method to the prediction according to measurements statistical where was found that neural networks give better results and more efficient for most of the time series for incoming and absolute dams

1-المقدمة

شهد العالم في المدة الأخيرة تطوراً واضحاً في جميع ميادين الحياة والتي طرق بابها الحاسوب وفي مقدمتها التحكم الصناعي والتطور الطبي غير إن كثرة الصعوبات التقنية وتعقيدها وعدم قدرة الحلول

* قسم الاحصاء / كلية الادارة والاقتصاد / الجامعة المستنصرية

** قسم الاحصاء / كلية الادارة والاقتصاد / الجامعة المستنصرية

البرمجية التقليدية على استيعابها قاد الباحثين للتعمع في فهم واحدة من نعم الله وأعظمها وهو التفكير والذكاء البشري، وبه ميز الإنسان الحروف والأنماط وتعرف على الصور والأشكال وإن قابلية الإنسان وكفاءته ترجع إلى هيكل دماغه المكون من عدد هائل ومعقد من الخلايا العصبية تزيد على (10) بليون خلية والمرتبطة مع بعضها مكونة الشبكة العصبية [4][2]

لذلك تعد الشبكات العصبية الإصطناعية ذكاءً من صنع أو إبتكار الإنسان يتم الحصول عليه من خلال إعطاء الحاسوب القدرة البرمجية على التعلم والتعامل مع أنماط لبيانات خاصة في العديد من المجالات التطبيقية ومعالجة هذه البيانات لاغراض التحليل أو التصنيف أو التنبؤ وأتخاذ القرارات المبنية على الآلاف المحتملات والعلاقات [5]

ويمكن تعريف الشبكات العصبية الإصطناعية ANN على إنها هيكل لخزن ومعالجة المعلومات بشكل متوازي ومتماضي ودون الحاجة إلى إنموذج مقتراح لهذه البيانات للوصول إلى أقرب نقطة للكفاءة بالمقارنة مع كفاءة الإنسان . [6][1]

ومن هنا تم اختيار الشبكات العصبية لاستعمالها في التنبؤ إذ يتناول هذا البحث التفاصيل الخاصة بالشبكات العصبية وتقنياتها وطرق تعلمها وعماريتها مع التطرق إلى خوارزمية الانتشار العكسي Back Propagation Algorithm

فضلاً عن دراسة نظرية وتطبيقية لطرق تحليل السلسل الزمنية ومنها نماذج بوكس- جنكينز ونماذج الإنحدار الخطى المتعدد بأعتبارها من أساليب التقدير والتنبؤ الكلاسيكية ومقارنة النماذج الناتجة عنها مع نماذج الشبكات العصبية الإصطناعية لمعرفة الكفاءة لكل من هذه الطرق وقد تم تطبيق هذه الأساليب على البيانات الخاصة بوارد ومطريق المياه لسد الموصل والذي يقع على نهر دجلة على بعد (40) كم شمال مدينة الموصل ويبلغ ارتفاع السد (113) م وسعة الخزن الكلية (14.53) مليارات م³ ويؤمن السد الزراعة الدائمة الكثيفة من الأراضي القابلة للزراعة على جانبي نهر دجلة في محافظات الموصل، بغداد، الكوت، الناصرية، العمارة والبصرة وكذلك السيطرة على مياه نهر دجلة لدرء أخطار الفيضان وبخاصة في مدينة الموصل وأيضاً توليد الطاقة الكهربائية تم إنجاز وتشغيل السد عام 1986 .

2- هدف البحث Objective of Research

يهدف البحث إلى بناء نماذج للتنبؤ بمعدل تصارييف المياه الواردة والمطلقة لسد الموصل الشهرية والمقدمة بوحدات (م³/ ثا) باستعمال أسلوب الشبكات العصبية الإصطناعية ومقارنتها بالطرق الإحصائية التقليدية والمتمثلة بنماذج بوكس- جنكينز ونماذج الإنحدار الخطى المتعدد للوصول إلى أفضل أسلوب وإنموذج للتنبؤ وفقاً لبعض المقاييس الإحصائية .

3- الجانب النظري Theoretical Side

3-1 : السلسل الزمنية Time series

توجد عدة أساليب لتحليل السلسل الزمنية ومنها أسلوب بوكس - جنكينز Box- Jenkins model (ARIMA) والذي يكون ذو كفاءة عالية في نمذجة السلسل الزمنية فيما إذا كانت موسمية أو غير موسمية وتتضمن منهجهية بوكس- جنكينز جمع وتحليل البيانات وإختبارها من خلال تشخيص الإنموذج وتقدير معاملاته Diagnostic Model Estimation & Diagnostic Model Tests للإنموذج المستخدم في التنبؤ [1] ولأجل التحليل لا بد أن تكون السلسلة الزمنية مستقرة في المتوسط (Stationary time series) أي أن مشاهداتها تتذبذب بصورة عشوائية حول متوسط ثابت لا يعتمد على الزمن (t) ومنه فإن :

$$E(y_t) = \mu$$

وذلك الاستقرارية في التباين أي ثبات التباين من خلال علاقته بالزمن :

$$\text{var}(y_t) = E[(y_t - \mu)^2] = \sigma_y^2$$

ويمكن تحويل السلسلة الزمنية غير المستقرة في المتوسط إلى سلسلة مستقرة وذلك باستعمال أسلوب الفروقات differencing (d) وبعدأخذ عدد من الفروق المناسبة من الدرجة (d) للسلسلة الأصلية والفرق الموسمية التي تكون من الدرجة (D) فإن الصيغة العامة للإنموذج المختلط الموسمي (Seasonal Mixed Model (SARIMA) Back shift operator) توصف كالتالي : [8]

$$\Phi_p(B) \Phi_p(B^S) \nabla^d \nabla_S^D y_t = \theta_q(B) \theta_q(B^S) a_t \dots \quad (1)$$

إذ $\Phi_p(B^S)$: متعدد الحدود من الدرجة (p) لنموذج الإنحدار الذاتي و $\Phi_q(B^S)$: متعدد الحدود من الدرجة (P) لنموذج الإنحدار الذاتي الموسمي و $\theta_q(B)$: متعدد الحدود من الدرجة (q) لنموذج الأوساط المتحركة و $\theta_q(B^S)$: متعدد الحدود من الدرجة (Q) لنموذج الأوساط المتحركة الموسمي S : طول الموسم و D : الفرق لجزء الموسمى و a_t : حد الخطأ العشوائى .
 ويرمز للنموذج المختلط الموسمي للسلسلة الزمنية الموسمية المستقرة بالرمز :

SARIMA

(p,d,q)x(P,D,Q)s والذى بالإمكان إستنتاج أغلب نماذج بوكس- جنكينز الموسمية وغير الموسمية منه بالإعتماد على خصائص درجات متعددات الحدود والمôسم . وأيضاً ممكن تحديد الإنموذج والتآثرات الموسمية من خلال دالتي (ACF) و (PACF) فإذا وجد إن تلك الإرتباطات لها فروق معنوية عند مدة زمنية ثابتة إذ تمثل طول الموسم عندما تكون السلسلة الزمنية موسمية وكذلك يتم إستعمالها للتمييز ما بين نماذج AR و MA وسلوك الإنموذج [12] .

3-1-2 : تشخيص النموذج وتقدير المعالم [12]

يتم تشخيص الإنموذج من خلال عدة صيغ منها :

- معيار أكى (AIC) Akaike Criterion لتشخيص درجة الإنموذج ARIMA (p,q) وفق هذا المعيار يعتمد على العلاقة :

$$AIC = n \ln(S/n) + 2p$$

إذ أن (S) مجموع مربعات الباقي وتحدد الدرجة الأفضل التي تقابل أقل قيمة لهذا المعيار .

أو بالإعتماد على معيار شوارز (SC) ويعرف أيضاً بمعيار (BIC) Schwarz Criterion وصيغة Bayesian Information Criterion :

$$BIC = n \ln(S/n) + p + p \ln(n)$$

أو من خلال العلاقة بين دالة الإرتباط الذاتي والإرتباط الذاتي الجزئي وبالإعتماد على الأشكال التي يتم تحديد درجة الإنموذج فيها .

ولتقدير المعالم Estimation of parameters هناك طرق رئيسة منها : طريقة المربيعات الصغرى (LS) Least Squares بالإعتماد على مجموع مربعات الأخطاء وتكون صيغة التقدير لنماذج (AR)(P) كالتالي :

$$\begin{aligned} \phi &= (x^T x)^{-1} x^T y \\ \hat{x}_{p,1}^T &= [y_{t-1} \quad y_{t-2} \quad \dots \quad y_{t-p}]^T \end{aligned}$$

وطريقة الإمكان الأعظم (ML) وفهـا يتم حساب وإختيار أقل مجموع مربعات الأخطاء للمعلم للحصول على مقدر الإمكان الأعظم

$$\begin{aligned} a_t &= \theta_q^{-1}(B) \theta_Q^{-1}(B^S) \phi_p(B) \phi_p(B^S) \nabla^d \nabla_S^D y_t \\ \hat{\sigma}^2 &= \frac{1}{N} \sum_{t=1}^N \hat{a}_t^2 \end{aligned}$$

3-1-3 : اختبارات التشخيص Diagnostic Tests

بعد إختيار الإنموذج وتقدير المعالم يتم التحقق من مدى إمكانية تحسينه وتطويره ويتم ذلك من خلال عدة اختبارات ومنها :

- اختبار Box- Pierce ويعتمد على الأخطاء الخاصة بالإنموذج وفق الصيغة :

$$Q = N \sum_{k=1}^m \hat{\rho}_{\hat{a}(k)}^2 \sim \chi_m^2$$

وتعديلـة لـلـقيمة الصـغـيرـة يـعـرـف بـ(Ljung- Box) وبالصـيـغـة :

$$Q^* = N(N+2) \sum_{k=1}^m (N-k)^{-1} \hat{\rho}_{\hat{a}(k)}^2 \sim \chi_m^2$$

إذ أن $m = \sqrt{N}$ و $\hat{\rho}_{\hat{a}(k)}^2$: تقدير لمربع معامل الإرتباط الذاتي للأخطاء عند الإزاحة (k).

[1] 3-1-4 : مقاييس الكفاءة على دقة النماذج

من المؤشرات التي توضح مدى ملائمة الانموذج ما يلى :

1- متوسط الخطأ Mean Error (ME)

2- متوسط مربع الخطأ Mean Square Error (MSE)

3- متوسط مطلق الخطأ Mean Absolute Error (MAE)

٤- متوسط مطلق الخطأ النسبي Mean Absolute Percentage Error (MAPE)

Forecasting التنبؤ : 3-1-5

بعد إختبار الإنموزج الشخص يمكن استعماله للتنبؤ بالقيم المستقبلية للسلسلة الزمنية وبافتراض أن (h) تمثل المدة المستقبلية المراد التنبؤ بها عندها تكون الصيغة العامة للتنبؤ :

$$E(y_{t+h}) = \hat{y}_t = \phi_1 E(y_{t+h-1}) + \phi_2 E(y_{t+h-2}) + \dots + \phi_{p+d} E(y_{t+h-p-q}) - \\ \theta_1 E(a_{t+h-1}) - \theta_2 E(a_{t+h-2}) - \dots - \theta_q E(a_{t+h-q}) + E(a_{t+h})$$

$$E(y_{t+h}) = \hat{y}_t = \theta_1 E(a_{t+h-1}) - \theta_2 E(a_{t+h-2}) - \dots - \theta_q E(a_{t+h-q}) + E(a_{t+h})$$

$$\theta_1 E(a_{t+h-1}) - \theta_2 E(a_{t+h-2}) - \dots - \theta_q E(a_{t+h-q}) + E(a_{t+h})$$

, **h= 1,2,.....**

$\therefore \hat{y}_t$

القيمة التقديرية للمشاهدات الحقيقية

وبالإمكان تقييم الإتموذج بعد التنبؤ من خلال حساب الفرق بين مشاهدات السلسلة الحقيقية والقيم التقديرية للسلسلة الزمنية والذي يعرف بخطأ التنبؤ :

$$\mathbf{e}_t = y_t - \hat{y}_t$$

3-2: الشبكات العصبية الاصطناعية : Artificial Neural Network (ANN)

عبارة عن نظام مصمم لمحاكاة الطريقة التي يُؤدي بها العقل البشري مهمة معينة [5] إذ يُعد أسلوب جديد في تحليل البيانات وتشخيصها وحساب التنبؤ لها وإن الخلية العصبية الإصطناعية تتكون من وحدة عناصر المعالجة التي تحتوي على جزئين هما :

1- دالة المجمع net function : وتحدد طريقة وصيغة إدخال المعلومات إلى الشبكة العصبية والتي تعرف بالمدخلات غالباً ما تكون عبارة عن تركيبة خطية (Linear combination) بدلالة الأوزان وتوصف :

$$n = b + \sum_{j=1}^R w_j P_j \dots \dots \dots (2)$$

a : المخرجات المقدرة للشبكة العصبية

b : الحد المطلق (الثابت)

w_i : الأوزان المرتبطة بالمدخلات وهي تقابل المعلمات في إنموذج الإنحدار

متغيرات الأدخال: P_j

$f(\bullet)$: دالة التنشيط المستعملة

2- دالة التنشيط (الفعالية) Activation function و تعرف أيضاً بدالة التحويل (transfer function) لأنها تقوم بتحويل المدخلات عبر تفاعلها مع المتغيرات التوضيحية من صيغة رياضية إلى أخرى وهي على عدة أنواع منها الخطية وغير الخطية و تمتاز بتحديد نوع العلاقة ما بين المدخلات والمخرجات عند كل عقدة من عقد الشبكة . ومن دوال التنشيط ما يلي :

[15] : Log-sigmoid function الدالة الوجستية

تعد هذه الدالة الأكثر إستعمالاً في عقد الطبقة المخفية للشبكات العصبية ومدخلاتها عبارة عن قيم حقيقة تتراوح بين (٠,١) أما مخرجات الدالة لكل عقدة من عقد الشبكة تكون ما بين (٠,١) وتكون صيغة الدالة :

$$f(n) = (1 + e^{-nT})^{-1}$$

إذ أن (T) تمثل معلومة افتراضية

2- الدالة الخطية : Linear function

$$a = f(n) = n$$

تستعمل هذه الدالة غالباً عند طبقة الإخراج وصيغتها :
إذا ان المدخلات قيم حقيقة وناتج الدالة لا يتغير

3- دالة التحويل المحددة : Hard limit transfer function

$$a = \begin{cases} 1 & , n \geq 0 \\ 0 & , n < 0 \end{cases}$$

صيغة هذه الدالة توصف كالتالي :

4- دالة العتبة Threshold (Heaviside) function

$$a = \begin{cases} 1 & , n \geq 0 \\ -1 & , n < 0 \end{cases}$$

توصيف الدالة كما يلي :

وتعبر هذه الدالة أيضاً بـ (symmetrical hard limit function)

[15] Hyperbolic tangent function - الدالة الوجستية ثنائية القطب

$$f(n) = \tanh(n/T) = 1 - 2(1 + e^{2n/T})^{-1}$$

تكون صيغة الدالة كما يلى :

3-3 : تعديل البيانات [7] Data normalization

وهي عملية تهيئة البيانات قبل معالجتها (pre-processing) لاستعمالها في عملية تدريب الشبكة العصبية لذلك لا بد من أن تكون هذه البيانات ضمن نطاق عمل دالة التنشيط المستعملة إذ تحقق متطلبات مدخلات الشبكة وهناك عدة طرق للتهدئة منها:

- 1- الصيغة المبسطة Simple formula
 - 2- الصيغة المعيارية Standarized formula
 - 3- الصيغة الطبيعية normalized formula
 - 4- الصيغة الطبيعية المعدلة alized formula

4- الصيغة الطبيعية المعدلة Adjusted normalized formula

The Hebb Rule

تعد قاعدة هب أول قاعدة لتعليم الشبكات العصبية الإصطناعية وقد وضعت من قبل العالم Donald Hebb عام 1949 كآلية لوصف مناطق الاتصال (Synapse) في الدماغ [13] أو نقاط الاشتباك العصبي إذ تمتاز بقدرتها على نقل مختلف الكميات من الإشارات وهي بذلك تشابه في عملها عمل الصمام في الجهاز الذي يسمح بمرور كميات مختلفة من الوقود أو السائل خلاله ومن الممكن تحسين نقاط الاشتباك العصبي وتقويتها للإسلام والإرسال إذ يتم اعطائها أوزان معينة للدلالة على قوة تلك النقاط ثم تقوم الخلية العصبية بجمع تلك الإشارات الموزونة ويفير هذا المجموع خلال دالة غير خطية وعند وصولها إلى عتبة معينة فإن الخلية تطلق إشارة تمثل مخرجات الشبكة [3] ويحدد متوجه المخرجات (a) من قبل متوجه متغيرات الإدخال $a = W P$ وبالصيغة :

$$\mathbf{a} = \mathbf{W} \mathbf{P}$$

أو

العناصر :

ومن المعادلة (3) يمكن ملاحظة إن الرابط ما بين المدخلات والمخرجات هو عبارة عن الوزن (w_{ij}) فإذا كانت قيمة كل من (P_j) و(a_i) موجبة عند ذلك فإن (w_{ij}) سوف تزداد والعكس صحيح وهذا يقود إلى الوصف الرياضي لقاعدة هب العامة وحسب الصيغة :

$$w_{ij}^{new} = w_{ij}^{old} + \alpha f_i(a_{iq}) f_j(P_{jq}) \dots \dots \dots (4)$$

Pig : عبارة عن العنصر th وللمشاهدة q من المدخلات

a_{iq} : عبارة عن العنصر i^{th} من مخرجات الشبكة و α : معدل التعلم

وإن قيمة معدل التعلم $\frac{1}{\lambda_{\max}} < \alpha < 0$ ، إذ أن λ_{\max} أكبر جذر أصم (مميز) في مصفوفة الأوزان . ويعتبر معدل التعلم من العوامل المؤثرة على عملية تحديد الأوزان في الشبكة من خلال تحديد حجم الخطوة للتعلم وبالتالي تقليل الأخطاء وتغيير الوزن [2] فإذا كانت قيمة معدل التعلم كبيرة فإن تغيير الوزن سيكون بشكل كبير مع انخفاض التكرارات لعملية التدريب للحصول على خطأ مقبول أما إذا كانت قيمة معدل التعلم صغيرة فإن عملية التعلم ستكون بطيئة والتغير في الوزن سيكون صغير مما يجعل معدل الوصول إلى أقل خطأ بطيء فضلاً عن إزدياد عدد التكرار في عملية التدريب وعموماً فإن تحديد القيمة المثلث لهاذا المعدل تعتمد على طبيعة البيانات وكثرة التجارب [1][3]

وإن صيغة المعادلة (4) هي حاصل ضرب دوال التنشيط وإجل التبسيط يمكن كتابة المعادلة بدالة متوجه المدخلات ومتوجه المخرجات ولغرس الوزن بالعلاقة :

$$w_{ij}^{\text{new}} = w_{ij}^{\text{old}} + \alpha a_{iq} P_{jq}$$

3-4-1: قاعدة هب للتعليم بغير مشرف عام unsupervised learning

تعد قاعدة هي المعرفة بالصيغة (4) بمثابة قاعدة تعلم من دون مشرف عام فهي لا تتطلب أي معلومات تخص مخرجات الهدف وتنظم البيانات المقدمة للشبكة ذاتياً عندها تنبع مصفوفة الأوزان كما يلى : [11]

$$W^{new} = W^{old} + \alpha a_q P_q^T$$

إذ تكون مجموعة التدريب في هذه الطريقة عبارة عن متجهات المدخلات فقط من دون عرض الهدف على الشبكة . [5]

3-4-2 : قاعدة هب للتعليم بوجود مشرف عام supervised Hebbian learning

في قاعدة التطعيم بوجود مشرف يتم التعامل مع البيانات التدريبية امام الشبكة على هيئة زوج يمثل بمتجه الإدخال ومتجه الإخراج عندها تعالج الشبكة مدخلاتها وتقارن مخرجاتها الناتجة مع مخرجات الهدف المطلوبة [5] والإختلاف بينهما يمثل خطأ عملية التدريب وللقيام بعملية تعديل الأوزان يتم تعويض مخرجات الهدف بمخرجات الشبكة وتكون صيغة معادلة التحديث بدالة ($\alpha=1$) كالتالي :

$$W_{ij}^{\text{new}} = W_{ij}^{\text{old}} + t_{iq} P_{jq}$$

وتحت بدلالة المصفوفات ولكل أوزان الشبكة :

$$\mathbf{W}^{\text{new}} = \mathbf{W}^{\text{old}} + t_q \mathbf{P}_q^T \quad \dots \dots \dots (5)$$

Multi-Layer Networks

إن عملية تدريب هذا النوع من الشبكات تكون معقدة و تستغرق وقت أطول ولكنها أكثر نجاحاً من الشبكات ذات الطبقة المفردة في حل بعض المشاكل وت تكون هذه الشبكات من طبقة واحدة أو أكثر من الطبقات المخفية (hidden layer) التي تحوي على عدد من العقد (الخلايا) المخفية (hidden nodes) وكل من هذه العقد وزن يربطها مع المستوى السابق (طبقة الإدخال) ووزن يربطها مع المستوى اللاحق (طبقة الإخراج) [5][2]

وبذلك فإن العلاقة التي تصف الإنمودج العام تكون :

وإن : M : عدد الطبقات في الشبكة

f^{m+1} : دالة التشيط المستعملة للطبقة $m+1$

a^{m+1} : متجه المخرجات للطبقة $m+1$

b^{m+1} : متوجه الحد المطلق (bias) للطريقة $m+1$

W^{m+1} : مصفوفة الأوزان المرافقية للطبقة $m+1$

العقد في الطلاق الأولي تستلم مؤشرات خارجية كم

تمثل مدخلات المتغيرات التوضيحية والتي عددها (R) وتعرف بـ :

$$a^0 = P$$

$$\mathbf{P} = \begin{bmatrix} \mathbf{P}_1 \\ \mathbf{P}_2 \\ \vdots \\ \mathbf{P}_R \end{bmatrix}$$

وتشهد بمثابة نقاط البداية لتقدير معلم الإنموزج أما مخرجات العقد في الطبقة الأخيرة تشكل مخرجات الشبكة العصبية وتتصف :

$$a = a^M$$

وإن خوارزمية الانتشار الخلفي (BP) من الخوارزميات المهمة لتعليم الشبكات العصبية المتعددة الطبقات والتي استطاعت إيجاد الحلول للعديد من المشاكل خاصة فيما يتعلق بالتصنيف وتمييز الأنماط وبناء النماذج وإن أسلوب (BP) هو تقرير لخوارزمية (Steepest Descent) والتي يكون فيها مقياس الكفاءة هو متوسط مربعات الأخطاء (MSE) الذي يتم تقديره عبر تقدير الأوزان لإنموزج الشبكة العصبية من خلال تزويدها بمدخلات ومخرجات هدف مترافق بالصيغة :

$$\{P_1, t_1\}, \{P_2, t_2\}, \dots, \{P_q, t_q\}$$

ويعرف مقياس الكفاءة بالدالة التربيعية : [11]
 إذ ان (X) هو متوجه يتضمن الأوزان والحد المطلق للشبكة وعند وجود مخرجات مقدرة فإن :

$$F(X) = E(e^T e) = E[(t-a)^T(t-a)]$$

 وعملية التعليم تكون على جانبي ذلك من خلال حساب الانتشار الأمامي Forward propagation وكذلك الانتشار الخلفي Backward propagation وفيما يلي وصف لإسلوب التعلم للانتشار الأمامي :

[11] 3-5-1 : الانتشار الأمامي Forward propagation
 وفيها يتم تعليم الشبكة العصبية ومعالجة البيانات من مدخلات الشبكة متعددة الطبقات وصولاً إلى المخرجات (طبقة الإخراج) إذ يمكن وصف المدخلات في العقدة (i) للطبقة المخفية (m) بالعلاقة :

$$n_i^m = b_i^m + \sum_{j=1}^{S^{m-1}} w_{ij}^m a_j^{m-1} \dots \quad (7)$$

$$n_i^m = b_i^m + w_{i1}^m a_1^{m-1} + w_{i2}^m a_2^{m-1} + \dots + w_{iS^{m-1}}^m a_{S^{m-1}}^{m-1}$$

وعدد العقد في الطبقة المخفية (m-1) S^{m-1}
 وعند وجود طبقة مخفية واحدة وبعد من العقد مساوياً لـ (S^1) فإن مخرجات هذه الطبقة توصف :

$$, i=1,2,\dots,S^1 \quad (8)$$

إن صيغة المعادلة (8) تكون مدخلات إلى الطبقة الثانية (طبقة الإخراج) عندها يوصف الإنموزج :

$$a^2 = f^2\{b^2 + \sum_{i=1}^{S^1} w_i^2 f_i^1(b_i^1 + \sum_{j=1}^R w_{ij}^1 \cdot a_j^1)\} \dots \quad (9)$$

وإن كل من (f^1) ، (f^2) هي دوال التنشيط المستعملة في الإنموزج للطبقة المخفية الأولى وطبقة الإخراج الثانية وعلى التوالي .
 فإذا كانت دالة التنشيط المستعملة لعقدة طبقة الإخراج (الطبقة الثانية) هي الدالة الخطية وصيغتها :

$$f^2(a) = a$$

وعلى فرض إن عدد العقد في الطبقة المخفية مساوياً إثنان فإن الإنموزج (9) يوصف بالصيغة :

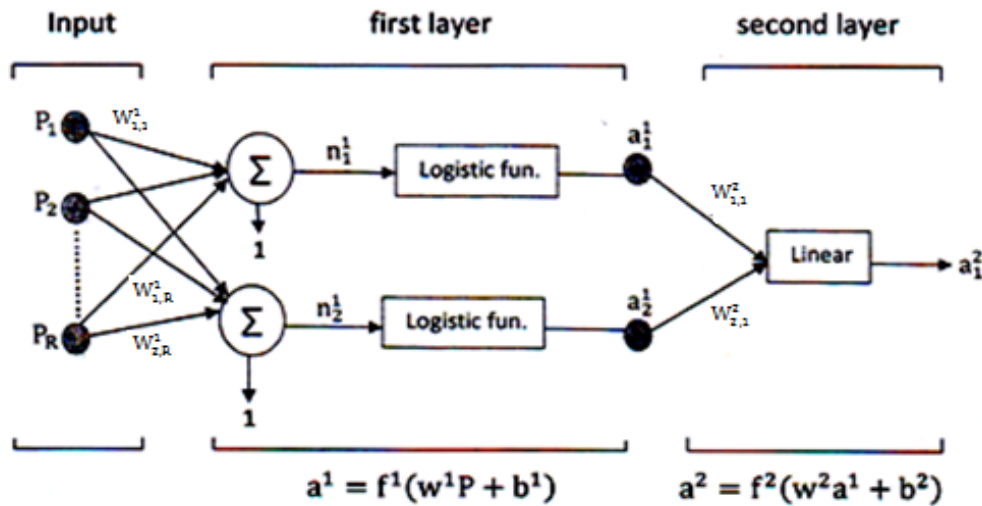
$$a^2 = f^2\{b^2 + w_1^2 f_1^1(n_1^1) + w_2^2 f_2^1(n_2^1)\} = b^2 + w_1^2 f_1^1(n_1^1) + w_2^2 f_2^1(n_2^1)$$

ومن خلال إستعمال الدالة اللوجستية كدالة تنشيط للعقد المخفية فإن العلاقة الرياضية توصف بالأسلوب :

$$a^2 = b^2 + w_1^2 \left\{ \left(1 + \exp(-b_1^1 - \sum_{j=1}^R w_{1j}^1 \cdot a_j^1) \right)^{-1} \right\} + \\ w_2^2 \left\{ \left(1 + \exp(-b_2^1 - \sum_{j=1}^R w_{2j}^1 \cdot a_j^1) \right)^{-1} \right\}$$

ويمكن تمثيل الشبكة العصبية للصيغة أعلاه في الشكل (2-8) :

شكل (2-8)
 "يوضح الشبكة العصبية بطبقة مخفية واحدة"



ومن خلال طريقة (Steepest Descent) فإن التعديل على أوزان الشبكة وبصيغة المصفوفات يكون وفق:

$$W^m(k+1) = W^m(k) - \alpha S^m(a^{m-1})^T \quad \dots \dots \dots \quad (10)$$

$$b^m(k+1) = b^m(k) - \dots \dots \dots \quad (11)$$

إذ أن (S^m) تمثل مقدار التحسس (Sensitivity) للدالة التقريرية (\hat{F}) لعقد الإدخال في الشبكة عند الطبقة (m)

$$S^m = \frac{\partial \hat{F}}{\partial n^m}$$

$$S^m = \left[\frac{\partial \hat{F}}{\partial n_1^m} \quad \frac{\partial \hat{F}}{\partial n_2^m} \dots \dots \quad \frac{\partial \hat{F}}{\partial n_s^m} \right]$$

وان

3-6 : طرق التعديل على أسلوب (BP) modifications of back propagation (BP)
 توجد عدة طرق افترضت لغرض تعديل خوارزمية (BP) للحصول على الحل بأقل كلفة وأقل مدة زمنية فعندما تمتلك نماذج الشبكات العصبية أعداداً كبيرة من المعامل (الأوزان) والتي يراد تعديليها فإن طريقة الحل من خلال خوارزمية (BP) تمتاز بأنها تكون بطيئة جداً لأغلب التطبيقات [14] فضلاً عن أن خوارزمية (SD) تعد طريقة بطيئة لتغيير الدوال والتوصل إلى الحل الأمثل عند ذلك تم إقتراح مجموعة من التعديلات على طريقة (BP) ومنها ما يلي :

- [11] Heuristic modifications of (BP)**
 وتشمل هذه الطريقة عدة أساليب منها :
 1- أسلوب الدفعة Baching
 2- أسلوب الزخم Momentum
 3- معدل التعلم المتغير Variable Learning rate

3-6-2 : طرق الأمثلية العددية Numerical optimization techniques
 إن هذه الطرق قائمة على تعديل طريقة الاتصال الأمامي وبالاعتماد على الأساليب العددية إذ يتم الوصول إلى الحل الأمثل بأسرع وقت وبأقل عدد من التكرارات ومن هذه الطرق ما يلي :

1- طريقة التدرج المترافق Conjugate Gradient
 تعد خوارزمية (Steepest Descent) أبسط خوارزمية للتوصل إلى الحل الأمثل للدالة ولكنها تمتاز ببطء التقارب إلى الحل الأمثل، أما طريقة نيوتن فهي تعد طريقة سريعة للحصول على الحل الأمثل إلا أن العمليات التكرارية لها تتطلب حساب مصفوفة هيس ومعكوسها إذ أن طريقة نيوتن تحوي على خاصية

تدعى النهاية التربيعية (quadratic termination) وتعني تصغير الدالة التربيعية بصورة مؤكدة في عدد محدد من التكرارات، إذ تتطلب حساب وхран المشتقه الثانية لدالة الهدف ولكن عندما يكون عدد المعالم كبير فإن عملية التقدير تكون غير عملية في حساب المشتقه الثانية لذلك يتم اعتماد طريقة (Conjugate Gradient) والتي تستعمل فيها المشتقه الأولى فقط وفي نفس الوقت تمتلك خاصية النهاية التربيعية إذ أن التعديل على طريقة الانتشار الأمامي وفق هذه الطريقة يكون من خلال خوارزمية (CGBP) والتي تتلخص بما يلى : Conjugate Gradient Back Propagation

يتم اختيار أول اتجاه للبحث عن الحل الأمثل والذي يتمثل بالاتجاه (P_0) والذي يساوي سالب التدرج أو الميل إذ ان : $P_0 = -g_0$ وإن $g_0 = \nabla F(x_k)$ يمثل مشتقة دالة الهدف التي ينبغي تصغيرها عند النقطة (x_k)

ثم يتم اختيار معدل تعلم غير ثابت (α_k) لتصغير دالة الهدف ضمن إتجاه البحث عندما فإن التعديل على الأوزان والمتغيرات يكون بالصيغة :

بعدها يتم حساب الخطوة التالية للبحث ويكون من خلال تحديد المتغير (P_k) بالعلاقة :

$$P_k = -g_k + \beta_k P_{k-1}$$

ويمكن ملاحظة أن التحديث أعلاه يرتبط مع β_k) والتي يتم تحديدها بأحدى الطرق الثلاثة التالية : [9] - طريقة (Hestenes and steifel) وفق العلاقة :

$$\beta_k = \frac{\Delta g_{k-1}^T g_k}{\Delta g_{k-1}^T p_{k-1}} , \quad \Delta g_k = g_{k+1} - g_k$$

طريقة (Fletcher and Reeves) - وفق العلاقة :

$$\beta_k = \frac{g_k^T g_k}{g_{k-1}^T g_{k-1}}$$

وإذا كانت الخوارزمية لا تقارب إلى الحل الأمثل فإنه يتم تكرار العملية بالإعتماد على آخر مرحلة لتقدير المعالم من خلال حساب (x_{t+1}) جديدة.

[7] Levenberg- Marquardt algorithm 2- خوارزمیہ لینفیرک- میرکوارد

إن خوارزمية L-M تعد تعديل لطريقة نيوتن إذ تعمل على تصغير دالة مجموع مربعات الأخطاء (SSE) لدوال غير خطية والموصوفة في تدريب نماذج الشبكات العصبية التي يكون مقاييس الكفاءة فيها متوسط مربعات الأخطاء وأن صيغة خوارزمية (L-M) توصف :

.....(13) $x_{k+1} = x_k - [J^T(x_k) J(x_k) + \mu I]^{-1} J^T(x_k) V(x_k)$
 إذ أن $J(x_k)$: عبارة عن مصفوفة لمشتقات دالة الأخطاء بالنسبة للأوزان والحد المطلق
 $V(x_k)$: دالة الخطأ

وأن الخوارزمية تمتلك مواصفات جيدة إذ إنه بزيادة (μ_k) فإن الأسلوب يقترب من خوارزمية (SD) وبمعدل تعلم ذو قيمة صغيرة أما بأنخفاض (μ_k) فإن الخوارزمية تقترب من طريقة كاوس-نيوتون ويمكن ذلك بأختيار قيمة صغيرة له ولتكن 0.01.

7-3 : مراحل التنبؤ من خلال الشبكات العصبية الإصطناعية Forecasting of ANN

[10]

إن عملية التنبؤ من خلال الشبكات العصبية الإصطناعية تتناول الخطوات التالية :

1- تحديد المتغيرات Variables Selection

2- جمع البيانات Data Collection

3- تهيئة البيانات للتنبؤ Data Preparation for Forecasting

تتضمن هذه المرحلة إعداد البيانات لاستعمالها في التحليل والتنبؤ والمذكورة في الفقرة (3-3) فضلاً عن تحديد كيفية تجزئة السلسلة الزمنية إلى :

- مجموعة التعلم training set : وهي مجموعة من بيانات السلسلة الزمنية تستعمل لتدريب الشبكة على التنبؤ إذ تستعمل هذه المجموعة في تقدير الأوزان وإن عدد النماذج في مجموعة التعلم كما وصفها Haykin (1995) والتي تتطلب تصنيف المشاهدات بخطأ مقبول (ϵ) توصف $\frac{\epsilon}{w} = N$ ، إذ (w) تمثل عدد الأوزان في الشبكة . [14]

- مجموعة الأختبار test set : وهي جزء من بيانات السلسلة الزمنية ولعينة لم تستعمل في التدريب تقوم باختبار قابلية الشبكة على التنبؤ بعد عملية التعليم ولا يوجد أساس علمي لتحديد تجزئة البيانات إلى مجموعتين تعلم وإختبار، فقد تؤخذ 90% من بيانات السلسلة للتعلم و 10% للإختبار أو تكون 50% للتعلم و 50% للإختبار وبعض البرامجيات تحدد 70% للتعلم و 30% للإختبار . [7]

- مجموعة التقييم validation set : تقوم بمراقبة نهاية لتقدير إداء تدريب الشبكة العصبية بصورة عامة وإن اختيار عدد بيانات هذه المجموعة يجب أن يكون مناسب لتقييم كلاماً من التدريب والإختبار وذلك للتوصى إلى أفضل تنبؤ . [10]

4- تحديد معمارية الشبكة [7] Network Architecture Determination

يتمثل الجزء الأساس لبناء هيكل الشبكة العصبية إذ يتطلب من مصمم الشبكة مهارة عالية وخبرة تجريبية في تحديد العوامل وذلك من خلال اختيار نوع الشبكة ولتحديد المعمارية يتم إتباع الخطوات التالية :

- تحديد عدد عقد الإدخال للشبكة determination of input nodes

- اختيار عدد الطبقات المخفية selection of number of hidden Layer

- اختيار عدد العقد في الطبقة المخفية selection of hidden neurons

5- تحديد عقد الإخراج [10] Determination of output nodes

إن وجود عقدة إخراج واحدة تعد كافية في حالة التنبؤ بخطوة واحدة في الشبكة العصبية أما في حالة التنبؤ لعدة خطوات فإن عدد العقد يكون مناظر وبصورة موازية لخطوات التنبؤ اللاحقة كما وأثبتت التجارب إن إستعمال عقدة واحدة يعطي نتائجاً جيدة مقارنةً مع إستعمال أكثر من عقدة إخراج

6- تحديد وإختيار دوال التنشيط Selection of Activation functions of neurons

7- تدريب الشبكة العصبية Neural Network Training

إن عملية تدريب الشبكات العصبية على التنبؤ تتم من خلال تعديل أوزان الشبكة للحصول على أقل خطأ بالأعتماد على خوارزمية الانتشار الخلفي (BP) وتعديلاتها ومن أهم خطوات تدريب الشبكة هي :

- تحديد قيم الأوزان الأولية select the weight initialization

- معدل التعلم وعامل الزخم Learning rate and momentum

- معيار التوقف stopping criterion

8- التنفيذ Implementation

وتعد الخطوة الأخيرة ومن أهم الخطوات إذ تختبر الشبكة من حيث قدرة التكيف مع حالة التغير في الدورة وإمكانية إعادة التدريب والوصول إلى أقل مربع خطأ عند تغير البيانات وتعتمد على البرنامج المستعمل والمزود بوسائل لتدريب الشبكة العصبية . [10]

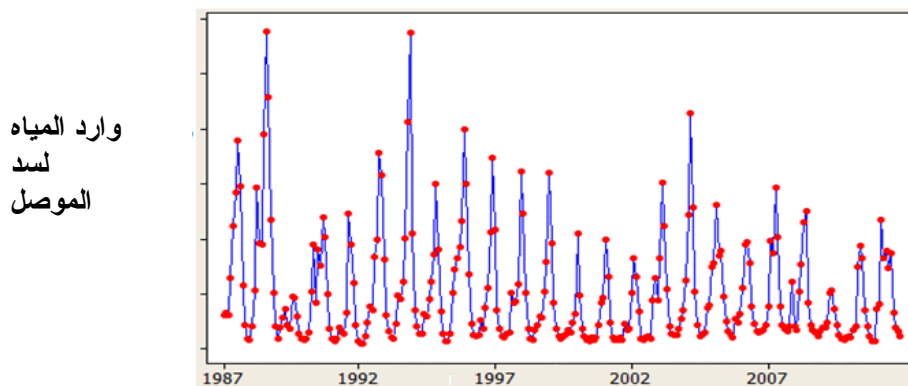
4- الجانب العملي Applicative Side

يتضمن هذا الفصل تحليل البيانات الخاصة بمعدلات تصارييف المياه بوحدات م3/ثا الواردة والمطلقة لسد الموصل وقد تم الحصول على البيانات من وزارة الموارد المائية / المركز الوطني لإدارة الموارد المائية وإن التحليل الإحصائي لهذه السلسل قسم إلى ثلاث جوانب رئيسية :

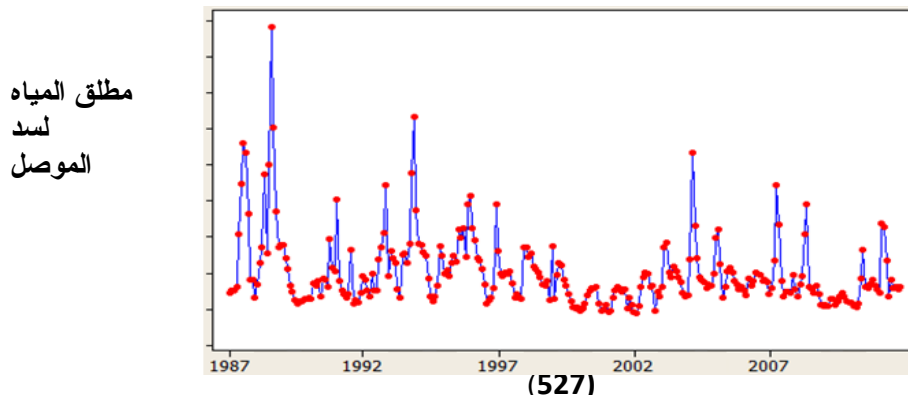
- بناء نماذج السلسل الزمنية وبالتحديد إنموذج بوكس- جنكينز لبيانات وارد ومطلق المياه للسد مع اختيار عدة نماذج وفق منهجية هذا الأسلوب وتشخيص الإنموذج الملائم والأفضل من خلال حساب المقاييس الإحصائية
- بناء نماذج الشبكات العصبية الإصطناعية باستعمال خوارزمية الائتمار الخلفي بعد تحديد معمارية مختلفة للشبكة إذ تعتمد على عدد متغيرات الإدخال والطبقات المخفية وعدد العقد في كل طبقة مخفية ودوال التشغيل الخطية وغير الخطية المستعملة في تدريب الشبكة العصبية لإختيار أفضل قيم للأوزان والتي تقابل أقل خطأ ممكن للحصول على التنبؤات والمتمنية بمخرجات الشبكة العصبية
- بناء نماذج الإحدار الخطي المتعدد بمتغيرات توضيحية مزاجة زمنياً لكل من السلسل الزمنية لوارد ومطلق مياه السد وإختبار هذه النماذج وبيان أفضلها مع مقارنة النماذج ضمن كل جانب من جوانب التحليل السابقة بالإعتماد على المقاييس الإحصائية وإختيار الإنموذج الملائم لكل طريقة بعدها تمت المقارنة بين نماذج الطرق الثلاثة (بوكس- جنكينز، الشبكات العصبية، الإحدار الخطي المتعدد) لمعرفة كفاءة هذه الأساليب وفق بعض المقاييس الإحصائية للتوصى إلى أفضل طريقة وإنموذج للتنبؤ.

4-1 : نماذج بوكس- جنكينز لتحليل السلسل الزمنية لوارد ومطلق المياه لسد الموصل :
 إن الخطوة الأولى لوصف وتحليل السلسلة الزمنية هو رسمها إذ يمكن ملاحظة مكوناتها الأساسية كالاتجاه العام والموسمية والدورية ولتحقيق ذلك تم الاعتماد في هذا الفصل على تطبيق البرنامجين MINITAB 14 & SPSS 18) لتحليل البيانات الخاصة بالمعدلات الشهرية لتصارييف المياه الواردة والمطلقة لسد الموصل لمدة (1987-2010) وبعد رسمهما تبين عدم وجود إتجاه عام إلا إن التغيرات الموسمية واضحة فيها وبطول موسم ($S=12$) كما في الأشكال (4-1) و (4-2) :

شكل (4-1)
 " السلسلة الزمنية لمعدلات تصارييف المياه الواردة لسد الموصل "



شكل (4-2)
 " السلسلة الزمنية لمعدلات تصارييف المياه المطلقة لسد الموصل "



وبحساب معاملات الارتباط الذاتي (ACF) والإرتباط الذاتي الجزئي (PACF) تم تأكيد عدم استقرارية السلسلتين الزمنيتين لوارد ومطلق السد لذلك كان لا بد منأخذ الفروقات الازمة للسلسل الأصلية لتحقيق الاستقرارية في المتوسط وكذلك بالإمكان إستعمال التحويلات اللوغاريتمية لغرض تحقيق الاستقرارية في التباين عندها تصبح السلسلة الزمنية لوارد السد ومطلق السد مهيأة للتحليل لهذا تمأخذ الفرق الأول الأعتيادي والأول الموسمي (77₁₂) وبطول موسم 12 من دون التعامل مع التحويل اللوغاريتمي وبإعادة إحتساب المعاملات تبين تحقيق الاستقرارية وبعد فحص معاملات الارتباط الذاتي تبين إن الإنماذج الملائم لوارد ومطلق السد هو الإنماذج الموسمي المضاعف ولزيادة دقة تشخيص الإنماذج تم إحتساب وتوفيق نماذج أخرى قريبة من الإنماذج المحدد فضلاً عن مقاييس تلك النماذج والجدول (4-1) يوضح هذه النماذج وأفضلها من ناحية التقدير والمتمثل الإنماذج SARIMA (0,1,1)x(0,1,1)

جدول (4-1)
 "نماذج بوكس- جنكينز الموقفة لوارد ومطلق المياه لسد الموصل "

سد الموصل	النماذج	المعالم المقدرة	R ²	SSE	$\hat{\sigma}$	AIC	BIC	SBC
وارد السد	1- (0,1,1)x(0,1,1) ₁₂	MA= 0.2204 SMA= 0.9365	76%	66.36	0.493	-387	-378	-380
	2- (1,1,0)x(0,1,1) ₁₂	AR= - 0.135 SMA= 0.9280	75%	67.16	0.496	-384	-375	-377
	3- (0,0,1)x(0,1,1) ₁₂	MA= - 0.5377 SMA= 0.9427	74%	67.41	0.497	-383	-374	-376
		SMA= 0.9492	61%	100.88	0.607	-274	-269	-269
	4- (0,0,0)x(0,1,1) ₁₂	AR= - 0.1391 MA= - 0.2545 SMA= - 0.3985	58%	119.17	0.662	-224	-210	-229
مطلق السد	1- (0,1,1)x(0,1,1) ₁₂	MA= 0.1655 SMA= 0.9591	49%	134.38	0.699	-193	-184	-186
	2- (1,1,0)x(0,1,1) ₁₂	48%	136.15	0.706	-189	-180	-182	
	3- (0,0,1)x(0,1,1) ₁₂	AR= - 0.0959 SMA= 0.9573	47%	151.56	0.742	-160	-151	-153
		MA= - 0.6109 SMA= 0.9605	12%	208.19	0.872	-75	-70	-70
	4- (0,0,0)x(0,1,1) ₁₂	SMA= 0.9670	51%	141.21	0.721	-177	-163	-166
	5- (1,1,1)x(0,0,1) ₁₂	AR= 0.7135 MA= 0.9993 SMA= - 0.2701						

ومن خلال جدول (4-1) نلحظ ارتفاع قيمة معامل ($R^2=76\%$) بالنسبة للإنماذج الملائم لوارد السد صاحبة انخفاض في مجموع مربعات الباقي وإن المقاييس AIC و BIC و SBC تأخذ أقل القيم وأفضلها كان لمقاييس AIC حيث بلغ 387.

أما الإنماذج الموسمي رقم (1) فهو الأفضل للسلسلة الزمنية الخاصة بمطلق السد وفق المقاييس AIC و BIC و SBC ولكن بال مقابل فإن قيمة ($R^2=49\%$) وهذا يشير إلى انخفاض درجة تفسير الإنماذج للبيانات مقارنة بالإنماذج السابق.

وبمعرفة الإرتباط بين المعلمة الإعتيادية والموسمية للإنماذج وجد إن الإرتباط ضعيف ويبلغ (-0.095) لوارد السد مما يعني إستقلالية كل معلمة في التأثير على النتائج ويعكس ذلك عدم إمكانية تجاهل

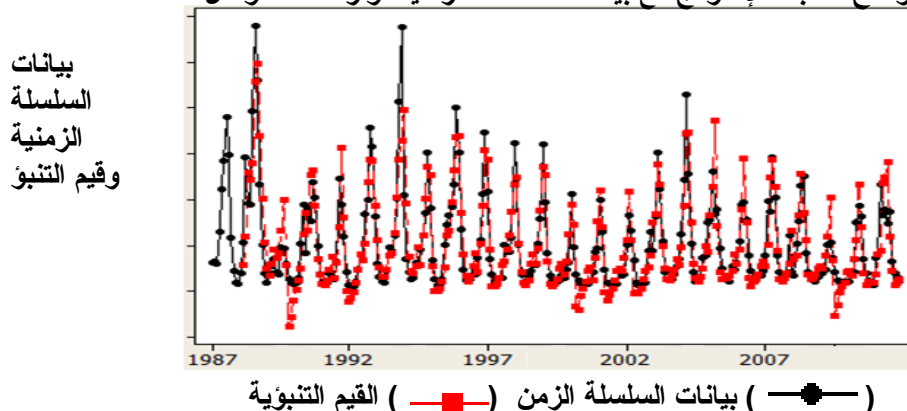
أي منها في الإنماذج وذلك يدل على كفاءة الإنماذج وأيضاً فإن ارتباط المعلمتين لمطلق السد ضعيف إذ يساوي (0.045) - ويشير إلى إعتمادية المعالم وبالتالي جودة الإنماذج الموفق . وقد وصفت النماذج الموسمية المختارة في جدول (4-2) :

جدول (4-2)
"نماذج بوكس-جنكينز المختارة لوارد ومطلق المياه لسد الموصل"

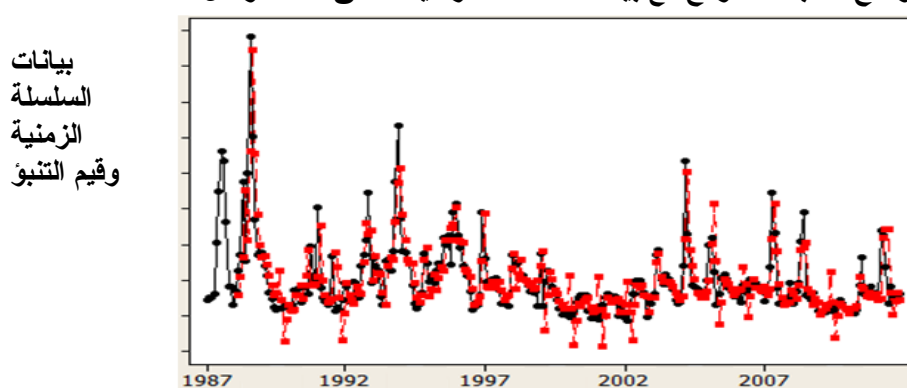
سد الموصل	النموذج	ME	MAE	MAPE	Box - Pierce	$\chi^2_{(0.05,17)}$
وارد السد	$(1 - B)(1 - B^{12})y_t = (1 + 0.2204 B)(1 + 0.9365 B^{12})a_t$	0.001	0.316	222.33	33.83	8.67
مطلق السد	$(1 - B)(1 - B^{12})y_t = (1 + 0.1655 B)(1 + 0.9591 B^{12})a_t$	-	0.074	0.439	181.06	28.48

وبالإعتماد على النماذج في جدول (4-2) تم رسم القيم التنبؤية الموفقة من خلال إنماذج بوكس-جنكينز المضاعف مع قيم السلسلة الزمنية الأصلية في الشكل (4-3) و (4-4) لوارد ومطلق سد الموصل :

شكل (4-3)
"يوضح مطابقة الإنماذج مع بيانات السلسلة الزمنية لوارد سد الموصل"



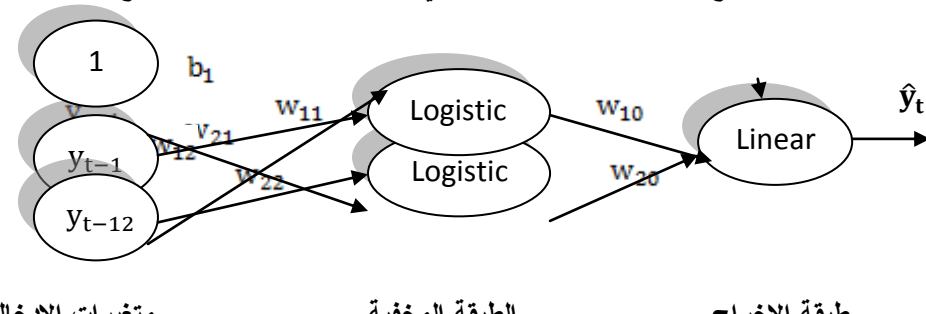
شكل (4-4)
"يوضح مطابقة النموذج مع بيانات السلسلة الزمنية لمطلق سد الموصل"



4-2 : نماذج الشبكات العصبية لتحليل السلسلة الزمنية لوارد ومطلق المياه لسد الموصل:
 تم استعمال منهجية الشبكات العصبية لتحليل السلسلة الزمنية لوارد ومطلق المياه لسد الموصل إذ أعتمد على إحدى أنواع الشبكات العصبية الإصطناعية (ANN) والمستعملة في الدراسة وهي الشبكات متعددة الطبقات **Multilayer Perceptron** ذات التغذية الأمامية **Feed Forward** وبطبيعة مخفية واحدة لغرض التنبؤ بالقيم المستقبلية للسلسلة الزمنية من خلال استعمال دوال التنشيط الخطية وغير الخطية للبيانات السابقة فالشبكات العصبية بصورة عامة تُعد كصيغة للبحث عن إنماذج شبه معلمي غير خطى

ولتحديد معمارية الشبكة تم اختيار متغيرات الإدخال (مدخلات الشبكة) لبيانات السلسلة من y_{t-1} إلى y_{t-13} والمتغيرات المتداخلة بينها فقد تم اختيار متغيرات الإدخال عند الإزاحة (1) و(12) والمتمثلة بالمتغيرين (y_{t-1}, y_{t-12}) ولعقتين في الطبقة المخفية (وحدة المعالجة) بدالتي تنشيط غير خطية هي الدالة الوجستية والمسؤولة عن العمليات الرياضية وحساب الأوزان وتعديلها أما القيمة التنبؤية (\hat{y}_t) فتمثل مخرجات الشبكة العصبية وتُعرَف بدالة خطية وبما إن الإنموذج للشبكة يُزود بالمدخلات والمخرجات فإن تدريب الشبكة يكون من نوع مشرف عام **Supervised Learning** إذ يتطلب معرفة الإنموذج المرافق للإدخال والإخراج معاً ويمكن تمثيل هذه الشبكة بالشكل (4-5) لبيانات السلسلة الزمنية لوارد ومطلق سد الموصى كما يلي :

شكل (4-5)
 " يوضح الشبكة العصبية بعقتين في الطبقة المخفية وعقدة إخراج واحدة "



ومن خلال الشكل نلحظ إن متغيرات الإدخال مرتبطة بعقد الطبقة المخفية والتي عددها (2) وكلها مرتبطة بعقدة الإخراج وإن قوة العلاقة ما بين العقد سواء كانت للإدخال والإخراج يتعدد من خلال الأوزان (w_{ij}) والتي نسعى إلى حسابها من خلال عملية تدريب (تقدير) الشبكة العصبية إذ تكون صيغة الإدخال للبيانات عبارة عن تركيبة خطية وتمثل بالمعادلة (2) وإن متغيرات الإدخال في الإنموذج تمثل

$p_0 = 1, p_1 = y_{t-1}, p_2 = y_{t-12}$
 وللقيام بعملية التدريب تم تجزئة بيانات السلسلة الزمنية لوارد ومطلق السد والمكونة من (288) مشاهدة لكل سلسلة إلى (70%) بيانات التدريب (تقدير) و(30%) للاختبار ويمكن تغيير هذه النسب بما يلائم بيانات الإدخال وتحديد معدل للتعلم ($\alpha = 0.4$) ومعامل الزخم ($\gamma = 0.9$) بقيم أولية عشوائية للأوزان إذ يُعد مجموع هذه الأوزان المضروبة مع قيم متغيرات الإدخال كمدخلات لتركيبة خطية وتوخذ هذه المدخلات إلى دالة التنشيط الوجستية في عقدتِ الطبقة المخفية إلا إن ذلك يتطلب تهيئة البيانات بصورة أولية من خلال تحويلها إلى إحدى الصيغ المذكورة بالفقرة (3-3) إذ تم استعمال الصيغة المعيارية لتحقيق مدى هذه الدالة الذي يكون ما بين (0,1) لإجراء العمليات الحسابية للتقدير فضلاً عن وجود الحد الثابت (bias) أو التحيز لكل من العقد المخفية فيوصف ناتج هذا العقد بـ (a_1^1, a_2^1) وبين نفس الأسلوب تم تطبيق العلاقة الخطية **Linear activation function** التي تجمع ما بين الطبقة المخفية وطبقة الإخراج بدلاً من المتغيرات (a_1^1, a_2^1) إذ توصف المعادلة التنبؤية عند الفترة الزمنية t بالعلاقة التالية :

$$\hat{y}_t = f^2 \{ b^2 + \sum_{i=1}^2 w_i^2 f_i^1 (b_i^1 + \sum_{j=1}^R w_{ij}^1 y_{t-ij}) \}$$

وهي تمثل الصيغة (9) وبشكل أكثر تفصيلاً فإن الإنموذج الذي نسعى إلى تقديره وبدوال التنشيط اللوجستية ودالة إخراج خطية يوصف :

$$\hat{y}_t = b^2 + w_1^2 \left\{ \left(1 + \exp(-b_1^1 - \sum_{j=1}^R w_{1j}^1 \cdot a_j^1) \right)^{-1} \right\} + w_2^2 \left\{ \left(1 + \exp(-b_2^1 - \sum_{j=1}^R w_{2j}^1 \cdot a_j^1) \right)^{-1} \right\}$$

ولإجل تنظيم عملية التحليل وبناء النماذج تم استعمال الصيغة $NN(j_1, j_2, \dots, j_k; h)$ والتي تشير إلى الشبكة العصبية بمدخلات مزاحة زمنياً للمدة (j_1, \dots, j_k) وإن (h) عدد العقد في الطبقة المخفية وعلىه فمعني بالعلاقة (2 ; 12 , 1) NN إنموذج الشبكة العصبية المكون من مدخلين وبعد مخفية عددها (2) وإن تقدير الأوزان في الشبكة العصبية يكون عبر تصغير مجموعة مربعتات الأخطاء للإنموذج الموفق بتكرار معين خلال مرحلة التدريب ولكن هذا ليس بالأمر السهل إذ إن عدد الأوزان يتزايد فضلاً عن إن دالة الهدف تمتلك عدة نقاط موضعية (Local minima) فقد تم التعامل مع عدة طرق وخوارزميات للبحث

والوصول إلى الحل الأفضل، وإن معظم هذه الطرق تتطلب عدة عمليات تكرارية للاقتراب من الحل الأمثل لذا تم إستعمال وتطبيق خوارزمية الائتشار الخلفي (BP) لتدريب دالة الهدف الغير خطية وإستعمال طريقة كالوس-نيوتن Gauss- Newton كطريقة تكرارية وصولاً إلى الحل الأمثل .
فضلاً عن إن عدد المعالم (الأوزان) في نماذج الشبكات العصبية يكون كبير جداً بالمقارنة مع الطرق التقليدية للتنبؤ ومنها أسلوب بوكس- جنكينز إذ يساوي عدد المعالم :

$$p = (n_i + 2)n_u + 1$$

وإن n_i : تمثل عدد متغيرات الإدخال بدون الحد الثابت و n_u : عدد العقد في الطبقة المخفية
فإن الإنمودج (2; NN(1,12) فيه $n_i = n_u = 2$ عندها عدد المعالم يساوي (9) وبسب هذا العدد الكبير من
المعالم فإن عملية التدريب قد تؤدي إلى وقوع حالة فوق التدريب (overtrain) أي الحصول على تقدير
جيد للمعلم ولكن ليس الأفضل من ناحية التنبؤ وبذلك فإنه لا بد من إستعمال مقاييس الكفاءة مثل AIC و
BIC ودوال الأخطاء للحصول على الإنمودج الأكفاء من خلال المقارنة بين هذه المقاييس وعند إزاحت
مختلفة لمتغيرات الإدخال فقد تم بناء مجموعة من نماذج الشبكات العصبية بمتغيرات مزاجة زمنياً
وتوضيحها في جدول (4-3) لوارد ومطلق السد :

جدول (4-3) " نماذج الشبكات العصبية لوارد ومطلق المياه لسد الموصل "

سد الموصل	نماذج الشبكات العصبية	عدد العقد في الطبقة المخفية	عدد المعالم	SSE	$\hat{\sigma}$	AIC	BIC	SBC	ME	MAE	MAPE
وارد السد	NN(1,12)	2	9	28.54	0.402	- 331	- 293	- 302	14.59	195.92	121.42
	NN (1,12)	4	17	27.63	0.404	- 321	- 249	- 266	- 34.59	194.62	128.16
	NN (1,12)	8	33	25.68	0.414	- 293	- 154	- 187	0.324	197.43	119.49
	NN (1-13)	2	31	24.14	0.392	- 324	- 193	- 224	7.325	174.08	107.23
	NN (1-13)	4	61	18.83	0.367	- 354	- 91	- 152	1.259	161.89	108.00
	NN (1,2,12,13)	2	13	24.53	0.381	- 346	- 291	- 304	10.95	178.73	112.74
	NN (1,2,12,13)	4	25	19.90	0.383	- 348	- 241	- 266	- 1.737	161.50	111.68
	NN (1,12,13)	2	11	24.07	0.372	- 354	- 309	- 320	- 7.119	192.36	117.03
	NN (1,12,13)	4	21	22.01	0.368	- 352	- 263	- 285	- 10.56	180.33	115.98
	NN (1,12,13)	8	41	20.23	0.379	- 318	- 155	- 187	0.336	171.64	108.77
مطلق السد	NN(1,12)	2	9	39.74	0.474	- 269	- 231	- 240	11.65	162.32	109.31
	NN (1,12)	4	17	36.18	0.457	- 281	- 209	- 226	6.776	162.02	110.49
	NN (1,12)	8	33	37.61	0.489	- 242	- 102	- 135	-0.249	162.44	112.32
	NN (1-13)	2	31	50.96	0.568	- 183	- 54	- 142	15.23	180.96	125.42
	NN (1-13)	4	61	31.43	0.254	- 206	- 51	- 10	-18.04	170.65	111.92
	NN (1,2,12,13)	2	13	41.73	0.472	- 287	- 231	- 244	4.918	160.08	106.51
	NN (1,2,12,13)	4	25	37.25	0.483	- 247	- 141	- 166	- 1.436	158.84	109.21
	NN (1,12,13)	2	11	38.67	0.471	- 268	- 222	- 233	1.663	167.67	111.23
	NN (1,12,13)	4	21	34.02	0.451	- 279	- 190	- 211	3.297	155.51	109.75
	NN (1,12,13)	8	41	41.53	0.526	- 209	- 35	- 76	2.125	161.24	109.19

١١

ومن خلال الجدول لوارد ومطلق السد نلاحظ إن نماذج $NN(1, 12, y_{t-1}, y_{t-12})$ يوضح انخفاض كفاءة النماذج بزيادة عدد العقد في الطبقة المخفية بدلالة المقاييس AIC و BIC و SBC إذ تزداد قيمة هذه المقاييس بزيادة عدد العقد وعدد المعالم (الأوزان) مع إرتفاع قيمة $(\hat{\sigma})$ فضلاً عن زيادة فترة المعالجة أما النماذج $NN(1, 2, 12, 13)$ لوارد السد فتؤكد إن زيادة عدد العقد وعدد المعالم لا يؤدي إلى توفيق إنموذج جيد لأن قيم مقاييس الكفاءة تزداد أو تكون متقاربة ذات فرق بسيط وإن الإنموذج الأفضل لوارد السد $NN(1, 12, 13)$;

2) لإمتلاك المقاييس أقل القيم وإنموذج $NN(1, 2, 12, 13)$ هو الأفضل لمطلق السد وبالنسبة إلى النماذج $NN(1-13)$ لوارد ومطلق السد فإنه يفضل الإنموذج $NN(1-13; 2)$ بدلالة المقاييس BIC و SBC بينما يفضل الإنموذج $NN(1-13; 4)$ بالإعتماد على مقياس AIC و $(\hat{\sigma})$ مما يدل على إن مقياس AIC لم يكشف الفروقات الجوهرية مقارنة بمقاييس BIC الذي أشار بصورة واضحة إلى عدم جودة الإنموذج $NN(1-13; 4)$ بارتفاع عدد المتغيرات والمعالم المقدرة مما يثبت إن بعض متغيرات الإدخال ذات أهمية قليلة في التحليل ولتحديد المتغيرات (متغيرات الإدخال) بصورة دقيقة يتم من خلال بناء إنموذج الشبكة العصبية $NN(1-13; 2)$ للمتغيرات المزاحة y_{t-13} إلى y_{t-1} بثلاثة عشر متغير إذ وصفت أوزان هذا الإنموذج لوارد السد بالجدول (4-4) ومطلق السد بالجدول (4-5) ومنها نلاحظ ما يلي:

- إن الأوزان التي تربط متغيرات الإدخال بالعقدة المخفية الثانية تمتلك قيم صغيرة وقريبة من الصفر والخاصة بالمتغيرات ذات الإزاحة (2-11) وهذا يدل على عدم أهمية هذه المتغيرات وإنما بالإمكان إعتماد إنموذج الشبكة العصبية $NN(1, 12)$.

- إن قيمة الأوزان لسلسلة وارد السد والتي تربط ما بين الطبقة المخفية وعقدة الإخراج هي (0.710) و (1.391) على التوالي، مما يدل على إن تأثير العقدة المخفية الثانية على المخرجات أكبر من الأولى وكذلك الحال لأوزان مطلق السد والتي تساوي (-0.493) للعقدة الأولى و (0.926) للعقدة الثانية وهذا التحليل يوضح إن تحديد عقدتان في الطبقة المخفية كافٍ للحصول على إنموذج جيد.

جدول (4-4)
"أوزان الإنموزج (2 ; 1-13) لوارد سد الموصل "

العقد	1	2	3	4	5	6	7	8	9	10	11	12	13
1	0.801	-0.331	-0.201	-0.026	-0.358	0.261	-0.147	0.236	-0.118	0.417	-0.108	0.113	0.188
2	0.491	-0.023	0.081	0.054	0.043	-0.051	0.073	-0.435	-0.023	-0.136	0.190	0.271	-0.382

جدول (4-5)
"أوزان الإنموزج (2 ; 1-13) لمطلق سد الموصل "

العقد	1	2	3	4	5	6	7	8	9	10	11	12	13
1	-0.121	0.185	-0.503	0.018	0.569	-0.316	-0.138	0.38	-0.199	0.204	-0.198	-0.567	0.367
2	1.160	0.102	-0.559	0.074	0.043	-0.035	-0.503	0.025	0.113	0.055	-0.009	0.236	-0.258

ومن خلال مجموعة الإختبار (test set) التي تختبر مدى قوة الإنموزج على التنبؤ إذ ان الإنموزج يزودنا بتتبُّوٌ خطوة واحدة وللحصول على التتبُّوٌ خطوات لاحقة تم إستعمال التقنية الأمامية (Feed Forward) وفيها يُعد التتبُّوٌ خطوة واحدة كمتغير للمدخلات مع إعادة تطبيق نفس المعمارية للتتبُّوٌ خطوة أخرى وهكذا.... وقد تم الحصول على القيم التنبؤية للإنموزج (2 ; 1, 12) لوارد ومطلق سد الموصل بالجدول (4-6) :

جدول (4-6)"القيم المتتبُّوٌ بها وفق الإنموزج (2 ; 1, 12) NN(1) لوارد ومطلق المياه لسد الموصل"

الفترة	القيم التنبؤية لوارد السد	القيم التنبؤية لمطلق السد
1	180	442
2	291	464
3	256	478
4	309	496
5	343	515
6	397	525
7	622	535
8	828	541
9	863	545
10	832	548
11	808	550
12	758	551

4-3 : نماذج الإنحدار الخطى المتعدد لتحليل السلسل الرزمية لوارد ومطلق المياه لسد الموصل :

تم التطرق في هذا الجزء إلى أحد أساليب التقدير التقليدية وهو تحليل إنموزج الإنحدار الخطى المتعدد **Multiple Linear Regression model** لدراسة العلاقة بين بعض من المتغيرات التوضيحية المزاحة زمنياً (y_t , y_{t-1} , y_{t-2} , y_{t-13}) ومتغير الاستجابة (y_t) **dependent variable** ووصف هذه العلاقة على هيئة معادلة خطية وتم تقدير معالم الإنموزج بإستعمال طريقة المربعات الصغرى (OLS) **Least Squares method** إذ تتميز هذه الطريقة ب أنها تقلص مجموع مربعات الخطأ أقل ما يمكن وبالتالي توفيق أفضل إنموزج يمثل هذه المتغيرات والجدول (4-7) يبيّن نماذج الإنحدار الخطية لوارد ومطلق السد :

(4-7) جدول "نماذج الإنحدار الخطى المتعدد بمتغيرات توضيحة مزاحة زمنياً لسد الموصل"

السدود		النماذج					F	R ²
سد الموصل	وارد السد	$\hat{y}_t = -0.0049 + 0.680 y_{t-1} + 0.600 y_{t-12} - 0.393 y_{t-13}$ t : (-0.156) (16.626) (12.903) (-7.415)					209.2	70%
	مطلق السد	$\hat{y}_t = -0.0114 + 0.668 y_{t-1} + 0.260 y_{t-12} - 0.182 y_{t-13}$ t : (-0.290) (16.293) (4.676) (-3.227)					90.0	50%

وإن الجدول (4-8) يبيّن مقاييس الكفاءة لنماذج الإنحدار الخطى وكما يلي :

(4-8) جدول "مقاييس الكفاءة لنماذج الإنحدار الخطى المتعدد لسد الموصل"

السدود		SSE	$\hat{\sigma}$	AIC	BIC	SBC	MAE	MAPE
سد الموصل	وارد السد	80.77	0.533	- 358	- 340	- 344	0.341	225.45
سد الموصل	مطلق السد	125.65	0.665	- 231	- 213	- 216	0.403	137.44

$\hat{\sigma}$

ان تحديد المتغيرات التوضيحية المزاحة زمنياً لنماذج الإنحدار الخطى استند على طريقة بوكس- جنكينز من خلال التحليل الأولي لهذه المتغيرات وهذا يعني وجود تداخل في وصف النماذج من طريقة لإخرى لذا ومن خلال جدول (4-7) نلحظ ان قيم معاملات المتغير المزاح زمنياً (y_{t-13}) تقترب من الصفر وبمقارنة قيمة اختبار الإحصاءة (t) لمعلمته هذا المتغير مع القيمة الجدولية التي تساوي (t = 1.645) يؤكد عدم معنوية المتغير في وصف الإنموزج الخطى وبالتالي إنحسار تأثيره على التنبؤ بقيم الظاهرة المدروسة وهذا يعزز التحليل بطريقة بوكس- جنكينز في تحديد متغيرات الإنموزج وإن إحصاءة الاختبار لمعامل المتغيرين (y_{t-1}) و (y_{t-12}) تكون كبيرة لكلا النموذجين مما يعكس أهمية هذه المتغيرات وبالتالي قوة تفسيرهما الطردية للتنبؤ في قيمة الظاهرة (\hat{y}_t) وبصورة عامة فإن نماذج الإنحدار معنوية وذلك بعد مقارنة قيمة (F) الخاصة لكل إنموزج بقيمتها الجدولية وتبلغ (2.60) تحت مستوى معنوية (0.05)

4-4 : المقارنة بين أساليب التقدير وبناء النماذج لوارد ومطلق المياه لسد الموصل :

تمت المقارنة بين الأساليب الثلاثة المستعملة في تقدير النماذج بالإعتماد على مجموع مربعات الأخطاء ومقاييس الكفاءة الإحصائية بين هذه النماذج والجدول (4-9) يوضح هذه المقارنة لوارد ومطلق سد الموصل إذ تم إعتماد إنموزج الشبكة العصبية (2 ; 1,12 NN) للمقارنة لإمتلاكه أقل عدد من المعالم من بين نماذج الشبكات والذي أعتمد في التنبؤ وتبين كفاءة أسلوب الشبكات العصبية على طرق التنبؤ الكلاسيكية لإنموزج مطلق السد وفقاً للمقاييس AIC و BIC و SBC التي تمتلك أقل القيم ونلاحظ إن قيم هذه المقاييس لوارد السد تكون كبيرة لإنموزج الشبكة العصبية بالمقارنة مع باقي الطرق وذلك يعود إلى طبيعة البيانات فضلاً عن إن نماذج الشبكة العصبية الإصناعية لوارد ومطلق السد تمتلك أقل قيمة لمجموع مربعات الأخطاء مما يدل على إن التنبؤ باستخدام الشبكات العصبية هو الأفضل .

(4-9) جدول "المقارنة بين نماذج التقدير الثلاثة لوارد ومطلق المياه لسدود العراق"

سد الموصل	النماذج	عدد المعالم	SSE	$\hat{\sigma}$	AIC	BIC	SBC	MAPE
وارد السد	بوكـس- جنكـينـز	2	66.36	0.493	- 387	- 378	- 380	222.33
	الشبـكات العـصـبـية	9	28.54	0.402	- 331	- 293	- 302	121.42
	الإنـحدـارـ الخطـى	4	80.77	0.533	- 358	- 340	- 344	225.45
مطلق السد	بوكـس- جنكـينـز	2	134.38	0.699	-193	-184	-186	181.06
	الشبـكات العـصـبـية	9	39.74	0.474	- 269	- 231	- 240	109.31
	الإنـحدـارـ الخطـى	4	125.65	0.665	- 231	- 213	- 216	137.44

Conclusions الاستنتاجات

من الاستنتاجات التي تم التوصل إليها من خلال نتائج هذه الدراسة :-

- يُعد أسلوب الشبكات العصبية ذو كفاءة ودقة، وذلك لإمتلاكه أقل مجموع مربعات الأخطاء وإنخفاض قيمة المقاييس الإحصائية لنماذج السلاسل الزمنية المستعملة في هذا البحث والتحليل بوساطة هذا الأسلوب يحتاج إلى وقت وجهد أقل مما تحتاجه طرق التنبؤ الكلاسيكية والتي تفترض شروط صعبة لتحليل السلاسل الزمنية .
 - قدرة الشبكة العصبية على التعامل مع أعداد كبيرة من المعالم بعدد وحجم مختلف من متغيرات الإدخال فضلاً عن تعامله مع العلاقات الخطية وغير الخطية في عملية التدريب ولعده مرات .
 - أوضح تحليل الإنحدار الخطي معنوية المتغيرين (y_{12}, y_4) وأكَّد ذلك التحليل بطريقة بوكس- جنكينز للسلاسل الزمنية الموسمية وبطول موسم (12) بالإعتماد على قيم المقاييس الإحصائية لإختيار إنماذج التنبؤ الأفضل أما إختيار المتغيرات ذات التأثير الأكبر في نماذج الشبكات العصبية فإنه يعتمد على قيم المعالم (الأوزان) الراقبة بين طبقات الشبكة لأن بعض المقاييس ومنها (AIC) لم يكشف عن الفروقات الجوهرية بين نماذج الشبكة مقارنة بمقاييس (BIC) .
 - للحصول على نتائج أكثر دقة باستعمال الشبكات العصبية الإصطناعية يجب الإهتمام بإختيار معمارية مناسبة للشبكة تمثل بعد متغيرات الإدخال وعقد الطاقة المخفية ودوال التشغيل المستعملة لمعالجة البيانات في هذه العقد وتحديد التدريب الذي يعطي أقل قيمة للخطأ .

Recommendations التوصيات

 - تطبيق أسلوب الشبكات العصبية في الدراسات الإحصائية التطبيقية المختلفة للدقة والمرونة التي تميز هذا الأسلوب
 - استعمال دوال تشغيل غير الدالة اللوجستية في تدريب الشبكة العصبية ومقارنة النتائج .
 - استعمال أسلوب الشبكات العصبية الشعاعية (RBF) في دراسة الظواهر الاقتصادية ومقارنتها بالطرق التقليدية إذ تجمع هذه الطريقة بين المواصفات الإحصائية لدوال التشغيل فضلاً عن صيغة الإنماذج الشبه معلمية
 - توسيع نماذج الدراسة التي تتضمن المقارنة مع طرق الشبكات العصبية ومنها الشبكات العصبية للإنحدار العام (GRNN)
 - استعمال طريقة التعليم من دون مشرف عام لبناء النماذج الإحصائية ومقارنتها بالطرق التقليدية
 - توسيع تقدير النماذج لحالة تنقيب البيانات (data mining)

Recommendations التوصيات

- ١- تطبيق أسلوب الشبكات العصبية في الدراسات الإحصائية التطبيقية المختلفة للدقة والمرونة التي تميز هذا الأسلوب
 - ٢- استعمال دوال تنشيط غير الدالة اللوجستية في تدريب الشبكة العصبية ومقارنة النتائج .
 - ٣- استعمال أسلوب الشبكات العصبية الشعاعية (RBF) في دراسة الظواهر الإقتصادية ومقارنتها بالطرق التقليدية إذ تجمع هذه الطريقة بين الموصفات الإحصائية لدوال التنشيط فضلاً عن صيغة الإنموزج الشبيه معلمية
 - ٤- توسيع نماذج الدراسة التي تتضمن المقارنة مع طرق الشبكات العصبية ومنها الشبكات العصبية للإثمار العام (GRNN)
 - ٥- استعمال طريقة التعليم من دون مشرف عام لبناء النماذج الإحصائية ومقارنتها بالطرق التقليدية
 - ٦- توسيع تقدير النماذج لحالة تقييم البيانات (data mining)

المصادر References

- الشيفخلي، أيغان علاء ناظم (2003) "تصميم نظام رياضي ديناميكي لا خطى باستخدام الشبكات العصبية (NARMAX) لإغراض تحليلية وتنبؤية لنشاط المبيعات في شركة كهرباء بغداد" / كلية الإدارة والاقتصاد / جامعة بغداد
 - الكسو، ابتهاج عبد الحميد محمد علي (2005) "استخدام الشبكات العصبية في تقدير رتب سلسل ماركوف مع التطبيق على سلسلة جبل بطمة في محافظة نينوى" / كلية علوم الحاسوب والرياضيات / جامعة الموصل
 - الكيلاني، محمد- خضرير، سلمى- رزوف، نهى- البكري، نورية عبد (2002) "استخدام الشبكات العصبية الإصطناعية في التنبؤ وتحليل البيانات ،الجزء الأول: التصنيف، التوفيق والتوقعات CLASSIFICATION FITTING & PREDICTION" / قسم المعلوماتية وبحوث العمليات/ الشركة العامة لتوزيع كهرباء بغداد
 - جاسم، سليماء حمادي (2006) "الارتباط القوي والشبكات العصبية الإصطناعية (دراسة تطبيقية)" / كلية الإدارة والاقتصاد / جامعة بغداد
 - جواد، فردوس حسين (2006) "دعم القرار الاستراتيجي باستخدام الشبكات العصبية (تصميم نظام مقترن دراسة تطبيقية في عدد من الجامعات العراقية في بغداد" / كلية الإدارة والاقتصاد / الجامعة المستنصرية
 - محمود، آفاق عبد الرحيم حسين (2010) "استعمال البرمجة الديناميكية والشبكات العصبية لإيجاد الخزين الأمثل لمخازن الشركة العامة للزيوت النباتية" / كلية الإدارة والاقتصاد / جامعة بغداد
 - 7- Ajay K . Palit and Dobrivoje Popovic , (2005) " Computational intelligence in time series forecasting , theory and engineering applications ".USA
 - 8- Ani bin Shabri , Fakulti Sains UTM/ Skudai Johor Malaysia " comparision of time series forecasting methods using Neural Networks and Box- Jenkins model "
 - 9- CHAN Man- Chung , WONG Chi- Cheong , LAM Chi- chung , The polytechnic University , Hong Kong " Financial Time Forecasting by Neural

Network Using Conjugate Gradient Learning Algorithm and Multiple Linear Regression Weight Initialization

- 10- Dr.Andranik Macrdechian, (2003) " Designing a neural network for forecasting financial and economic time series "
 - 11- Martin T. Hagan , Howard B. Demuth , (1996) " Neural Network Design"
 - 12- Michael Sampson , (2001) " Time Series Analysis "
 - 13- P.Ram Kumar , M.V.Ramana Murthy , D.Eashwar , M.Venkatdas , (2005)
"TIME SERIES MODELING USING ARTIFICIAL NEURAL NETWORKS "
Journal of Theoretical and Applied Information Technology
 - 14- Simon Haykin, (1998) " FEEDFORWARD NEURAL NETWORKS : AN INTRODUCTION "
 - 15- YU HEN HU , Jenq- Neng Hwang , (2001) " NEURAL NETWORK SIGNAL PROCESSING "
-
.....
.....